

国鉄・鉄道技術研究所 正会員 中村 豊  
 国鉄・鉄道技術研究所 正会員 斎藤明夫  
 住電気工業(株) 正会員 橋本民雄

1. まえがき 国鉄では新幹線の地震対策の一つとして対震列車防護装置と呼ばれるものを設置している。これは、沿線に20~25km間隔で設置した地震センサが水平地動4gal以上を検知した場合に地震センサを中心に片側20~25kmの区間に電停止し、主要駅到着までに出来うだけ走行中の列車を減速させ、乗客の安全を確保するものである。筆者らは、東北新幹線を対象に、この安全性をさらに向上させ、営業速度の向上に対する対応をどのようにするため、地震検知から主要駅到着までの時間(以下余裕時間と呼ぶ)がより多く確保できるシステムの開発を進めている。以下これについて報告する。

2. システムの基本的考え方 現在の防護装置は、警報対象駅傍にあり、地震動のP波部分で地震を検知している。新しいシステムでは、次に2つ的方法で余裕時間の増大を図る。

①地震の検知をP波の部分で行なう ②地震計を警報対象地域より震源に近いところに設置する。

②の考え方は加害性地震の震源領域があらかじめ想定されていることが前提となる。東北地方についてみれば、加害性地震の大部分は太平洋において発生しているので太平洋沿岸ないし海底に地震計を設置することと②は満たされる。検知点と警報対象域が離れていたため、①における地震の検知後直ちにP波部分の情報をもとに検知地震の位置と規模の推定を行ない、警報を発する地域の特定が行なわれねばならない。①、②の方法により、検知点におけるS-P時間(初期微動遮断時間)、および検知点から警報対象までの主要駅伝播時間と、余裕時間に組み入れることができる。上記の考え方を検討するための研究用モデルシステムを岩手県宮古市に設置している。

### 3. モデルシステム(MS)の概要

MSは、互に約20km離れた3つの観測点と、データ処理設備とから成る。図1はシステム設置位置を示したものである。処理に用いる波形は地動速度波形である。MSの基本機能は、地動振幅及び卓越周期を用いた地震検知機能と危険な安全な判定機能である。MSには警報対象域を特定する機能は付与されていない。地震検知時刻を波動到来時刻として震央位置やみかけの波動伝播速度を推定する機能及び地震終了後、マグニチュードを推定する機能が付加されている。

4. P波部分による震央位置及びマグニチュード推定法と推定結果 ここでは、現在のMSを実用的なシステムにするための重要な機能である震央位置及びマグニチュードの推定機能について検討する。

P波部分による震央位置の推定: P波発現時刻のみから、震源位置を決定するには、5ヶ所の観測点が最低必要である。ここでは、波動の伝播速度 $V_p$ 及び震源の深さ $Z$ をそれぞれ $6.4\text{ km/sec}$ ,  $40\text{ km}$ と仮定している。図2はMSによる推定結果と気象庁発表の震央を対比させたものである。これをみると震央位置は検知点寄りに推定されているが、その方位は発表のものとはほぼ一致している。図3はこの方位誤差の絶対値を発表された震央方位に対するプロットしたものであるが、検知点北方の地震に対しては精度が落ちる傾向が認められる。これは、北方の地殻構造の複雑さと起因するものと思われる。 $V_p$ 及び $Z$ を大きくすると推定位置は検知点より遠くなるが、震源計算が不可能になる場合が増えた。これは、 $V_p$ ,  $Z$ の仮定の適切さとともにP波発現時刻の自動読み取り精度の向上を図る必要があることを示唆している。

P波部分によるマグニチュードの推定: Gutenberg-RichterによればP波部分の最大全振巾(上下動:  $A_{\text{up-down}}$ )

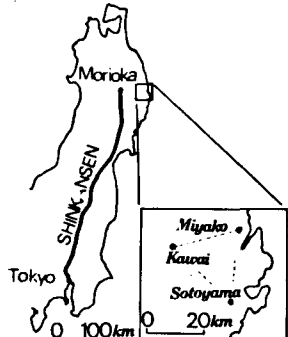


図1 モデルシステム設置位置

をもとに次のようにしてマグニチュードが計算される。

$$m = \log(A/T) + \alpha, \quad M = 1.59m - 3.97, \quad \alpha \text{ は震央距離} \Delta \text{ と} Z \text{ の関数}, T \text{ は最大振巾部分の周期}$$

$A$  は速度の次元を有するため、この部分を P 波の立ち上がり部分の速度振巾 (上下,  $m/sec$ ) に置き換え、 $Z=0 \text{ km}$ ,  $\Delta=222 \text{ km}$  の  $\alpha = 3$  を基準とした  $\alpha$  を用ひ、実体波的な距離による地動振巾の減少を考慮すると、結局マグニチュードの推定式として次式が得られる。

$$M = 1.59(\log R + \log R) + 1.53, \quad R \text{ は震源距離 (ここでは} R \text{ の代わりに} \Delta \text{ を用いる。)}$$

図 5 は MS により求められた  $\Delta$  (3 点の平均) を用い、 $\Delta$  と気象庁によるもの  $\Delta_J$  及び MS によるもの  $\Delta_m$  を使、2 算定したマグニチュード  $M_1$ 、 $M_2$  を気象庁マグニチュード  $M_J$  と比較したものである。これによれば、 $M_2$  は  $\Delta_m$  の推定精度が悪いながら 5 度程度一致しているが、正確な  $\Delta_J$  を用いた  $M_1$  は  $M_J$  と ±0.5 度の誤差で一致している。

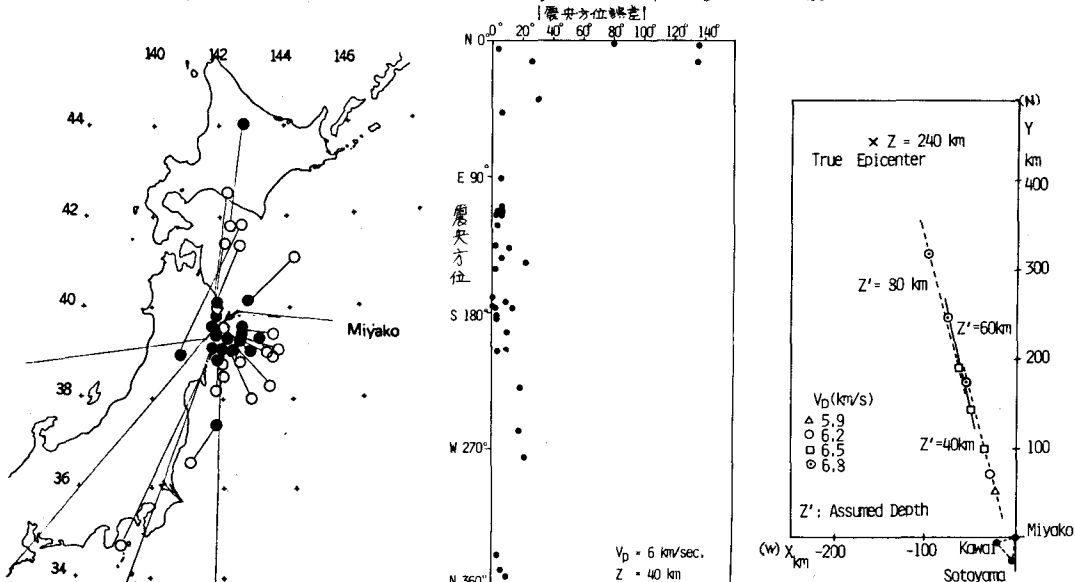


図 2 震央位置推定結果と気象庁発表との対比

図 3 震央方位誤差と震央方位の関係

図 4  $V_p$  及び仮定深度と震央位置

5. まとめ 地震の発生を出来ただけ早く検知し警報するシステムが持つべき機能を検討した結果、問題点は震央位置の決定精度にあることが明らかになった。決定精度の向上には次の 3 つの対策が考えられる。①観測点の増加②震源計算に用いる伝定の適切化③P 波発現時刻の自動読み取り精度の向上。

発現時刻読み取り精度向上のため、振巾トリガー方式以外に相互相関を利用して方式についても研究を進めている。なお、在来の防護システムに 2 ③の考え方を付加するため東北、上越新幹線沿いに 20~25 km 間隔で、太平洋沿岸には 80~100 km 間隔で地震計を展開中である。

謝辞：本研究は、元鉄道技術研究所主任研究員、藤原俊郎氏が担当しておいたもの<sup>(1), (2)</sup>の継続であり、本研究の構想を与えられた氏に対する謝意を表す是第である。

参考文献：(1) Fujiwara, T., ; New Automatic Train Stopping System during Earthquakes. 6WCEE, 1977

(2) 藤原俊郎；地震動早期検知システム (その 1), 5 JEES, 1978

(3) Fujiwara, T., Nakamura, Y., ; New Automatic Train Stopping System during Earthquake (II), 7WCEE, 1980